

Υπολογιστική ρευστομηχανική

7^ο εξάμηνο

Προαιρετικό θέμα 2

Επίλυση συμπιεστής ροής εντός αγωγού μεταβλητής διατομής



Γεώργιος Νιδριώτης - mc18054
6 Φεβρουαρίου 2024

Περιεχόμενα

Εισαγωγή	1
1 Μεθοδολογία επίλυσης	1
1.1 Σχήμα ανακατασκευής του Roe	1
1.2 Σχήμα ολοκλήρωσης Runge Kutta	2
1.3 Ορισμός οριακών συνθηκών	3
1.4 Αλγόριθμος επίλυσης	3
2 Παρουσίαση προσωπικών δεδομένων εργασίας	5
2.1 Γεωμετρία αγωγού	5
3 Αποτελέσματα και σχολιασμός	6
I Πηγαίος κώδικας	9
I.i Κύρια συνάρτηση αλγορίθμου main.cpp	9
I.ii Βοηθητικό αρχείο συναρτήσεων utils.cpp	10
I.iii Αρχείο παραμέτρων data.h	14

Εισαγωγή

Η παρούσα εργασία στοχεύει στην ανάπτυξη λογισμικού που λύνει τις μονοδιάστατες εξισώσεις Euler για μοντελοποίηση της ροής συμπιεστής ροής εντός αγωγού μεταβλητής διατομής. Θεωρούμε πως στο αριστερό μέρος του αγωγού έχουμε συνδεδεμένο αεροφυλάκιο σταθερών και γνωστών συνθηκών. Η ροή μελετάται ως μη μόνιμη και παρουσιάζεται το μεταβατικό της στάδιο από την εκκίνησή της ανοίγωντας το αεροφυλάκιο έως την αποκατάσταση της μόνιμης ροής.

Οι εξισώσεις Euler παρουσιάζονται στην πρωταρχική τους μορφή (1) και την συντηρητική τους μορφή (2) που βοηθά στην επίλυσή τους. Η πρωταρχική μορφή μας παρέχει τις ιδιοτιμές της Ιακωβιανής οι οποίες είναι αναγκαίες για να αναγνωρίσουμε τη ροή της πληροφορίας και τον υπολογισμό των παροχών όπως θα δούμε παρακάτω.

$$\frac{\partial}{\partial t} \begin{pmatrix} \rho \\ u \\ p \end{pmatrix} + \begin{pmatrix} u & \rho & 0 \\ 0 & u & 1/\rho \\ 0 & \rho c^2 & u \end{pmatrix} \cdot \frac{\partial}{\partial x} \begin{pmatrix} \rho \\ u \\ p \end{pmatrix} = \begin{pmatrix} -\frac{\rho u}{S} \frac{dS}{dx} \\ 0 \\ -\frac{\rho u c^2}{S} \frac{dS}{dx} \end{pmatrix} \quad \text{Πρωταρχική μορφή} \quad (1)$$

$$\frac{\partial}{\partial t} \begin{pmatrix} \tilde{\rho} \\ \tilde{\rho} u \\ \tilde{\rho} E \end{pmatrix} + \frac{\partial}{\partial x} \begin{pmatrix} \tilde{\rho} u \\ \tilde{\rho} u^2 + \tilde{p} \\ \tilde{\rho} H u \end{pmatrix} = \begin{pmatrix} 0 \\ \tilde{p} \frac{dS}{S dx} \\ 0 \end{pmatrix} \quad \text{Συντηρητική μορφή} \quad (2)$$

Όπου,

- $\tilde{\rho} = \rho S$
- $\tilde{p} = p S$

Όπως αναφέραμε και παραπάνω, θα λύσουμε την συντηρητική μορφή της εξίσωσης του Euler που επιτρέπει την άμεση ολοκλήρωσή της, και η μεθοδολογία που ακολουθήσαμε για την επίλυση αναλύεται στην παρακάτω παράγραφο.

1 Μεθοδολογία επίλυσης

Ολοκληρώνοντας την εξίσωση 2 και γράφοντάς τη σε διακριτή μορφή (προσαρμόζοντας στο πλέγμα) αποκτάμε την παρακάτω μορφή (εξ 1.1).

$$\Delta x \frac{\partial \bar{U}_i}{\partial t} + (F_{i+1/2} - F_{i-1/2}) = \Delta x \cdot \bar{Q}_i \quad (1.1)$$

Όπου \bar{U}_i και \bar{Q}_i είναι η μέση τιμή των συντηρητικών μεταβλητών και των όρων πηγής αντίστοιχα σε ένα κελλί. Επομένως, η κεντρική ιδέα της μεθόδου είναι πως χρησιμοποιώντας την διακριτοποιημένη έκφραση της 1.1, εκτελούμε σχήμα ρητής ολοκλήρωσης Runge Kutta 4ης τάξης για τον υπολογισμό της χρονικής εξέλιξης της ροής (παράγραφος 1.2).

Οι τιμές των παροχών στα σύνορα (faces) των κελλιών ($F_{i+1/2}, F_{i-1/2}$), υπολογίζονται με τη βοήθεια του σχήματος ανακατασκευής του Roe (παράγραφος 1.1).

1.1 Σχήμα ανακατασκευής του Roe

Το σχήμα του Roe υπολογίζει τις παροχές στις επιφάνειες των κελλιών μέσω της σχέσης 1.2. Πρακτικά υπολογίζει τον μέσο όρο των παροχών που προκύπτουν από το αριστερό και το δεξί γειτονικό κελλί, και διορθώνει την τιμή λαμβάνοντας υπόψη, μέσω των ιδιοτιμών, την κατεύθυνση που μεταφέρεται η πληροφορία.

$$F_f = \frac{1}{2}(F_L + F_R) - \frac{1}{2}|A| \cdot (U_R - U_L) \quad (1.2)$$

Όπου,

- F_L, F_R , οι τιμές της παροχής ($\tilde{\rho} u, \tilde{\rho} u^2 + \tilde{p}, \tilde{\rho} H u$) χρησιμοποιώντας τη μέση τιμή του αντίστοιχου συντηρητικού μεγέθους (σχήμα 1ης τάξης) για το αντίστοιχο κελί (αριστερό ή δεξί)

- $|\mathbf{A}| = \mathbf{R}|\mathbf{\Lambda}|\mathbf{R}^{-1}$, με $|\mathbf{\Lambda}|$ τον διαγώνιο πίνακα που έχει τις απόλυτες τιμές των ιδιοτιμών στη διαγώνιό του
- $\mathbf{U}_R - \mathbf{U}_L$, το διάνυσμα της διαφοράς των συντηρητικών μεταβλητών του δεξιού μείον του αριστερού κελλιού

Για τον υπολογισμό του μητρώου $|\mathbf{A}|$ χρησιμοποιούμε μια έκφραση των τιμών που αποτελεί ένα σταθμισμένο μέσο όρο των τιμών του αριστερού και του δεξιού κελλιού (εξ 1.3).

$$\begin{aligned}\tilde{\rho} &= \sqrt{\rho_L} \cdot \sqrt{\rho_R} \\ \tilde{u} &= \frac{\sqrt{\rho_L} \cdot u_L + \sqrt{\rho_R} \cdot u_R}{\sqrt{\rho_L} + \sqrt{\rho_R}} \\ \tilde{H} &= \frac{\sqrt{\rho_L} \cdot H_L + \sqrt{\rho_R} \cdot H_R}{\sqrt{\rho_L} + \sqrt{\rho_R}} \\ \tilde{c} &= \sqrt{(\gamma - 1)(\tilde{H} - 0.5\tilde{u}^2)}\end{aligned}\tag{1.3}$$

$$\text{Με } H = E + pv = E + \frac{p}{\rho} = \frac{\tilde{\rho}E}{\tilde{\rho}} + p$$

Οπότε, με βάση τα μεγέθη των σχέσεων 1.3, οι ιδιοτιμές και το μητρώο R είναι:

$$\begin{aligned}|\lambda| &= \begin{bmatrix} |\tilde{u}| & 0 & 0 \\ 0 & |\tilde{u} + \tilde{c}| & 0 \\ 0 & 0 & |\tilde{u} - \tilde{c}| \end{bmatrix} \\ R &= \begin{bmatrix} 1 & 0.5\tilde{\rho}/\tilde{c} & -0.5\tilde{\rho}/\tilde{c} \\ \tilde{u} & 0.5(\tilde{u} + \tilde{c})\tilde{\rho}/\tilde{c} & -0.5(\tilde{u} - \tilde{c})\tilde{\rho}/\tilde{c} \\ 0.5\tilde{u}^2 & 0.5 \cdot (0.5\tilde{u}^2 + \tilde{u}\tilde{c} + \frac{\tilde{c}^2}{\gamma - 1})\tilde{\rho}/\tilde{c} & -0.5 \cdot (0.5\tilde{u}^2 - \tilde{u}\tilde{c} + \frac{\tilde{c}^2}{\gamma - 1})\tilde{\rho}/\tilde{c} \end{bmatrix}\end{aligned}\tag{1.4}$$

Τέλος, για την αντιμετώπιση ασταθειών στην περίπτωση κρουστικού κύματος, διορθώνουμε τις ιδιοτιμές ως εξής:

$$\begin{aligned}\delta &= 0.05 \cdot \tilde{c}^2 \\ |\lambda| &= \frac{|\lambda|^2 + \delta^2}{2\delta} \text{ εαν } |\lambda| \leq \delta\end{aligned}$$

Έτσι, μέσω των παραπάνω, υπολογίζουμε τις παροχές σε κάθε επιφάνεια του πλέγματός μας. Το αντίστοιχο τμήμα του κώδικα που πραγματοποιεί τον υπολογισμό των παροχών παρατίθεται στο παράρτημα.

1.2 Σχήμα ολοκλήρωσης Runge Kutta

Η αριθμητική επίλυση της συντηρητικής δ.ε λύνεται με το σχήμα Runge Kutta 4ης τάξης. Αρχικά, η εξίσωση 1.1 γράφεται ως:

$$f(U_i, t) = \frac{\partial \bar{U}_i}{\partial t} = \bar{Q}_i - \frac{F_{i+1/2} - F_{i-1/2}}{\Delta x}$$

Και το διάνυσμα των συντηρητικών μεταβλητών για τον κόμβο i και για κάθε βήμα του αλγορίθμου k είναι:

$$U_i^k = U_{i-1} + dt \cdot C_k \cdot f(U_i^{k-1}, t - 1)\tag{1.5}$$

Η τιμή της επόμενης χρονικής στιγμής t είναι η U_4 δηλαδή για $k=4$. Οι τιμές του συντελεστή C_k είναι: $C_k = [0.1084, 0.2602, 0.5052, 1]$. Οι τιμές που υπολογίζονται στα ενδιάμεσα βήματα συνεισφέρουν αποκλειστικά στη νέα τιμή της $f(U_i, t)$ παρά μόνο την περίπτωση του τελευταίου βήματος, όπου ανανεώνεται η τιμή του διανύσματος για το επόμενο χρονικό βήμα.

1.3 Ορισμός οριακών συνθηκών

Αρχικά, αναφέρεται πως έχουμε 2 εικονικά κελιά (ghost cells) τα οποία βρίσκονται μπροστά απο το πρώτο κελλί του χώριου και μετά το τελευταίο. Σε αυτά τα κελιά ορίζουμε τις οριακές συνθήκες εισόδου και εξόδου και το σχήμα ανακατασκευής του Roe είναι υπεύθυνο να ανανεώσει τις τιμές των παροχών στο πρώτο και το τελευταίο face με βάση τις τιμές στα ghost cells.

Εκτός απο τις τιμές στα ghost cells που καθορίζονται απο τα δεδομένα στο αεροφυλάκιο, αρχικοποιήσαμε τις τιμές των κελιών ως εξής: Θεωρώντας πως το αεροφυλάκιο είναι απομονωμένο απο τον αγωγό πριν απο τη στιγμή $t=0$, όλα τα κελιά πλην του πρώτου ghost cell, αρχικοποιούνται με τις τιμές του περιβάλλοντος (εξόδου) για την πυκνότητα και την πίεση και με μηδενική ταχύτητα.

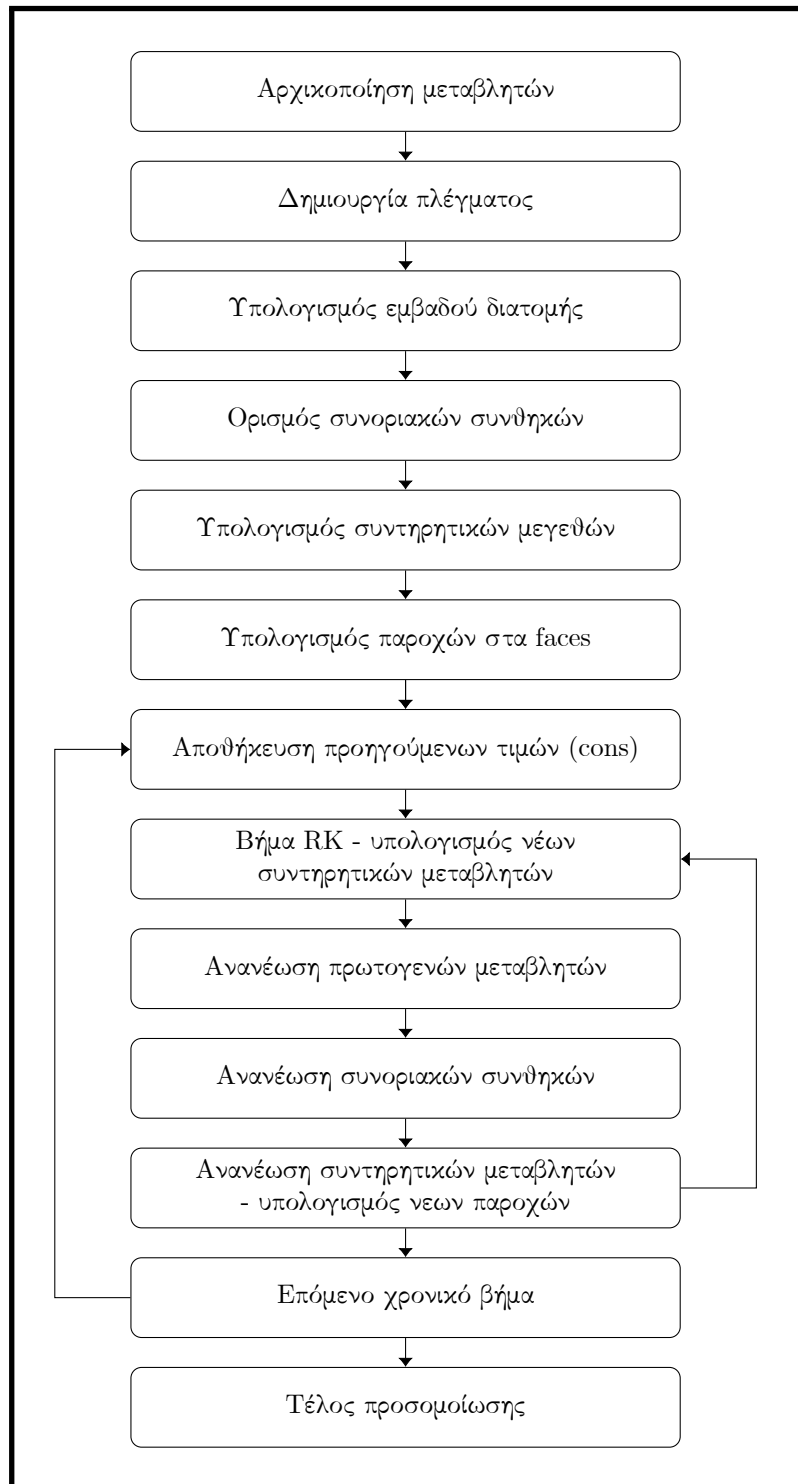
Επιπλέον, για τις τιμές που δεν έχουμε δεδομένες σε είσοδο και έξοδο, (ταχύτητα σε είσοδο έξοδο, πυκνότητα στην έξοδο), οι τιμές στα ghost cells ανανεώνονται ώστε να είναι ίσες με τις τιμές του γειτονικού κελλιού (μηδενική κλίση).

Τέλος, αναφέρεται πως προφανώς όλες οι οριακές συνθήκες ορίστηκαν για τις πρωτογενείς μεταβλητές.

Οι ακριβείς τιμές ακολουθώντας τα προσωπικά δεδομένα παρατίθενται παρακάτω στον πίνακα 1.

1.4 Αλγόριθμος επίλυσης

Ο αλγόριθμος επίλυσης υλοποιώντας τις μεθόδους που περιγράφηκαν παραπάνω φαίνεται σχηματικά στο σχήμα 1.



Σχήμα 1: Αλγόριθμος επίλυσης μοντέλου

2 Παρουσίαση προσωπικών δεδομένων εργασίας

Τα δεδομένα που αφορούν γεωμετρικές παραμέτρους και φυσικά μεγέθη παρατίθενται στον πίνακα 1.

k	0.09
a	0.216
b	1.03
c	0.97
$p_{αεροφ}$	4 bar
$p_{εξ}$	3.3 bar
$T_{αεροφ}$	286K
Μήκος αγωγού	2m

Πίνακας 1: Δεδομένα εργασίας

Η τιμή της πυκνότητας για τις συνοριακές συνθήκες και για την αρχικοποίηση υπολογίζονται ως $\rho = \frac{p}{RT}$. Αντίστοιχα, οι αριθμητικές παράμετροι που χρησιμοποιήθηκαν παρατίθενται στον πίνακα 2.

Αριθμός κόμβων	801
Χρονικό βήμα	$10^{-6}s$
Αριθμός βημάτων	45000
Τελικός χρόνος	0.045s

Πίνακας 2: Αριθμητικές παράμετροι

Η τάξη μεγέθους του χρονικού βήματος επιλέχθηκε ακολουθώντας το όριο του Courant. Ο αριθμός του Courant είναι:

$$C = \frac{Udt}{dx}$$

Ο αριθμός Courant θέλουμε να είναι τουλάχιστον μικρότερος της μονάδας, αλλά συνήθως θέλουμε να είναι αρκετά μικρότερος. Λύνοντας ως προς dt έχουμε:

$$dt = \frac{Cdx}{U}$$

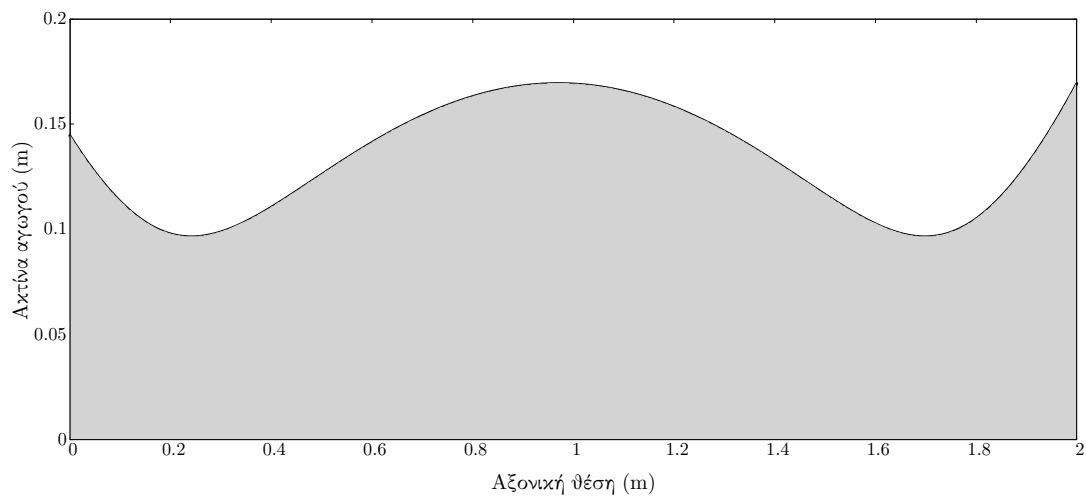
Αν θεωρήσουμε πως η ταχύτητα μπορεί να φτάσει περίπου 2 φορές την ταχύτητα του ήχου ($\approx 600m$) και αριθμό Courant $C = 0.5$, τότε προκύπτει ότι θέλουμε το χρονικό βήμα να είναι περίπου τρεις τάξεις μεγέθους μικρότερο από το χωρικό βήμα. Έτσι ακολουθήσαμε αυτό τον κανόνα για την επιλογή του χρονικού βήματος.

Ο αριθμός των κόμβων (αντίστοιχα μήκος κελλιού) επιλέχθηκε με δοκιμές, ξεκινώντας από μικρό αριθμό αυξάνοντας σταδιακά έως να ευσταθήσει η σύγκλιση του κώδικα.

2.1 Γεωμετρία αγωγού

[h!]

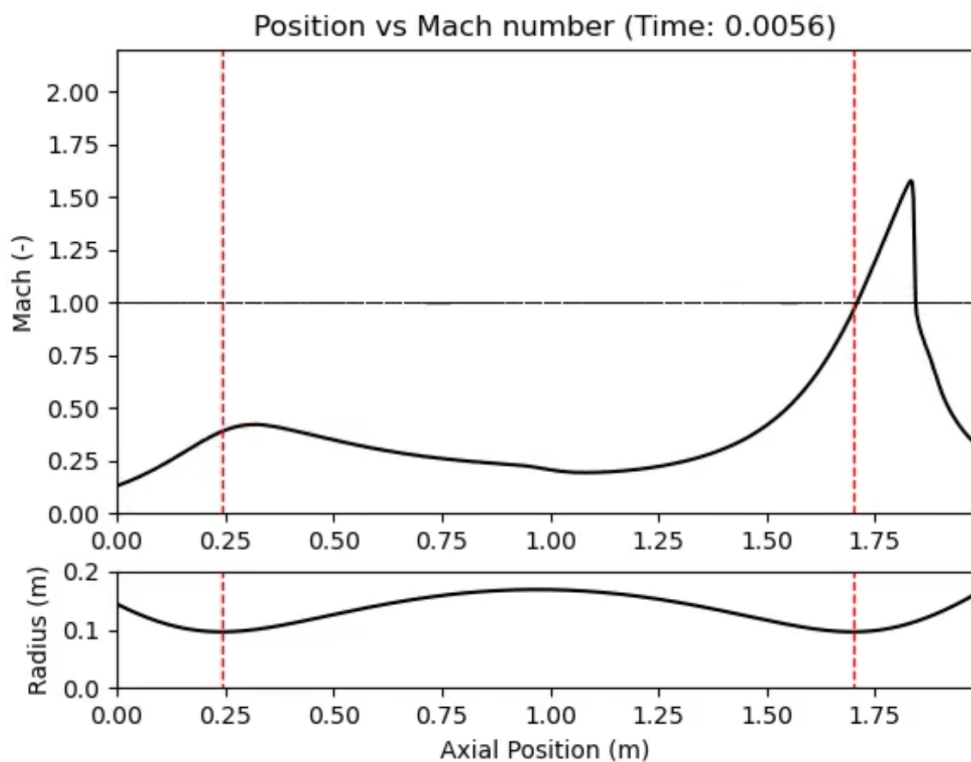
Με βάση τα αριθμητικά δεδομένα που παρουσιάστηκαν στον πίνακα 1, η γεωμετρία που προκύπτει φαίνεται στο σχήμα 2.



Σχήμα 2: Διάγραμμα μεταβολής ακτίνας αγωγού

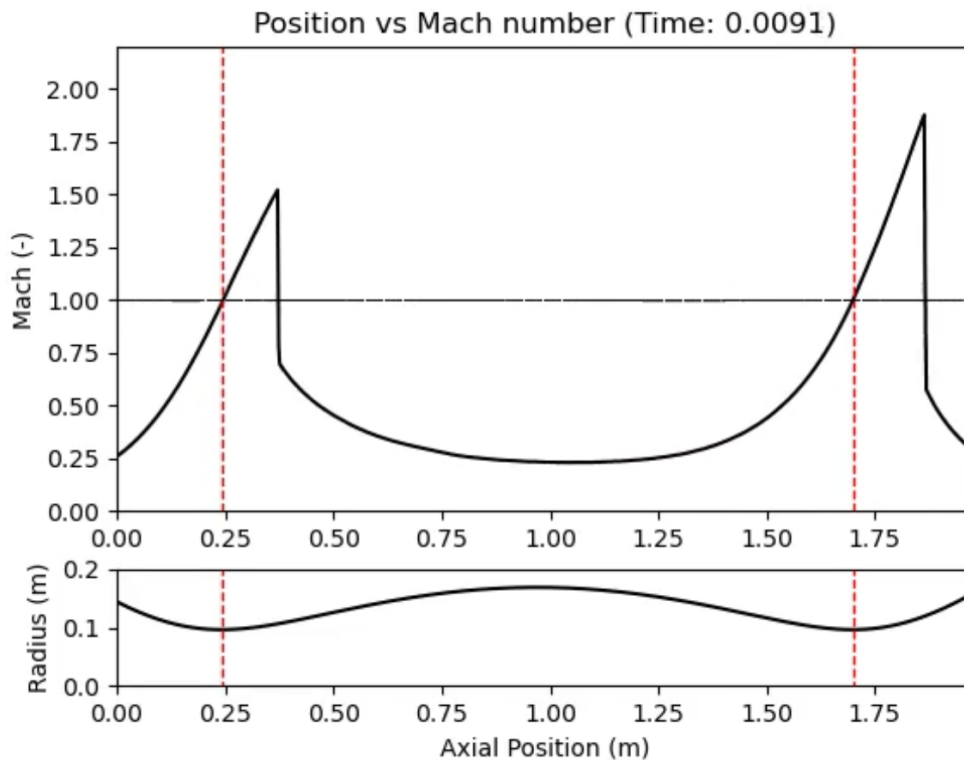
3 Αποτελέσματα και σχολιασμός

Στα παρακάτω σχήματα φαίνονται χαρακτηριστικές στιγμές στην εξέλιξη της ροής. Αρχικά, παραθέτουμε τη στιγμή που σχηματίζεται το πρώτο κύμα κρούσης, έπειτα το δεύτερο και τέλος την αποκατάσταση της ροής.



Σχήμα 3: Σχηματισμός πρώτου κύματος κρούσης

Απο τα στιγμιότυπα και το βίντεο της εξέλιξης της ροής παρατηρούμε πως όταν ανοίγει το αεροφυλάκιο η ροή ξεκινά από το αεροφυλάκιο και προχωρά προς την έξοδο σαν ένα κύμα. Φαίνεται επίσης σα να αποκαθίσταται η ροή από την έξοδο προς την είσοδο, και σχηματίζεται πρώτα το κύμα κρούσης στον δεύτερο λαιμό (κοντά στην έξοδο)

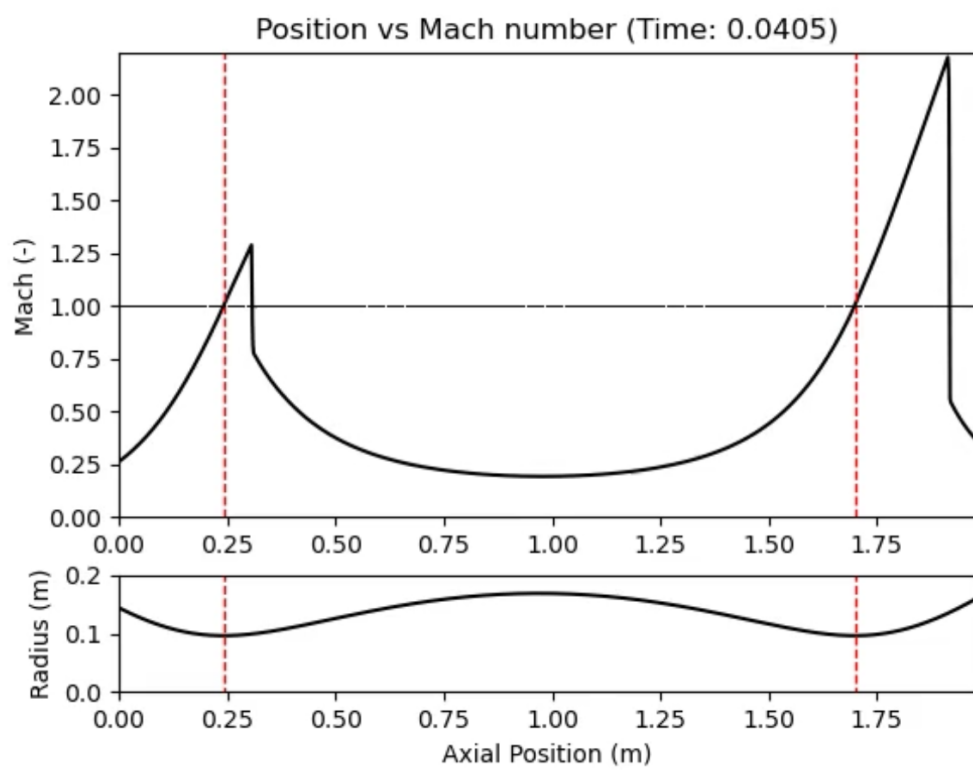


Σχήμα 4: Σχηματισμός δεύτερου κύματος κρούσης

όπως φαίνεται και στο σχήμα 3 και όταν σταθεροποιείται η ροή κοντά στον δεύτερο λαιμό, αρχίζει να αποκαθίσταται και στα πίσω τμήματα. Πράγματι, στη συνέχεια εμφανίζεται και δεύτερο κύμα κρούσης μετά τον πρώτο λαιμό και η ροή αρχίζει αργά να αποκαθίσταται.

Επιπλέον, από όλες τις στιγμές των στιγμιότυπων στα διαγράμματα του αριθμού Mach, παρατηρούμε πως στα σημεία των λαιμών έχουμε αριθμό Mach ίσο με τη μονάδα, που συμφωνεί με τα αναμενόμενα βάσει της θεωρίας.

Τέλος, βλέπουμε πως στην αποκατεστημένη ροή μετά τον δεύτερο λαιμό έχουμε πολύ μεγαλύτερο κύμα κρούσης όπου ο αριθμός Ma ξεπερνά το 2, και από υπερηχητική η ροή μεταβαίνει σε υποηχητική για να μεταβεί στις συνθήκες εξόδου, όπως φαίνεται και στα αντίστοιχα βίντεο με τα διαγράμματα πίεσης και πυκνότητας.



Σχήμα 5: Αποκατάσταση μόνιμης ροής

I Πηγαίος κώδικας

Το λογισμικό που λύνει το μοντέλο υλοποιήθηκε σε γλώσσα C++. Η δομή του κώδικα αποτελείται από τα εξής. Ένα κύριο αρχείο (main.cpp) με την κύρια συνάρτηση του προγράμματος που περιλαμβάνει την κεντρική δομή του αλγορίθμου, και ένα δευτερεύον βοηθητικό αρχείο (utils.cpp) που περιέχει τους ορισμούς των συναρτήσεων που καλούνται στην κεντρική δομή του αλγορίθμου. Τέλος, έχουμε ένα αρχείο που περιέχει τις γεωμετρικές παραμέτρους του προβλήματος και τις αριθμητικές παραμέτρους του κώδικα. Η δομή του main.cpp ακολουθεί τη ροή του αλγορίθμου που παρουσιάζεται στο σχήμα 1. Έτσι, παρακάτω παρατίθενται τα αρχεία με την σειρά που αναφέρθηκαν.

I.i Κύρια συνάρτηση αλγορίθμου main.cpp

```
1 #include "utils.h"
2 #include "data.h"
3
4 using namespace std;
5
6 // Define global variables
7 std::vector<double> x;
8 std::vector<double> S;
9 std::vector<double> U1_p;
10 std::vector<double> U2_p;
11 std::vector<double> U3_p;
12 std::vector<double> U1_c;
13 std::vector<double> U2_c;
14 std::vector<double> U3_c;
15 std::vector<double> F1;
16 std::vector<double> F2;
17 std::vector<double> F3;
18 int cells = nodes+1;
19 std::vector<double> dS;
20 double dx;
21
22
23 int main()
24 {
25     initialize(); // Initialize variables
26     discretize(); // Create grid points
27     calcS(); // Calculate values of section area for each node position
28
29     updateBC(); // Assign primitive values to ghost cells
30     calcCons(); // Calculate conservative variables for all cells
31
32     roeFlux(); // Calculate face fluxes using Roe's scheme
33
34     std::vector<double> rkConst(4);
35     rkConst[0] = 0.1084; rkConst[1] = 0.2602; rkConst[2] = 0.5052; rkConst[3] = 1;
36
37     // Initialize vectors to hold variables of
38     // previous timestep
39     std::vector<double> Uold1(cells);
40     std::vector<double> Uold2(cells);
41     std::vector<double> Uold3(cells);
42
43     for (int it = 1; it <= maxIter; it++)
44     {
45         Uold1 = U1_c;
46         Uold2 = U2_c;
47         Uold3 = U3_c;
48
49         for (int rk = 0; rk<4; rk++)
50         {
51             // Calculate conservative variables for
52             // the next RK step for all (non-ghost) cells
53             for (int c1=1; c1<cells-1; c1++)
54             {
55                 U1_c[c1] = Uold1[c1] - dt*rkConst[rk]* (F1[c1]-F1[c1-1])/dx;
56                 U2_c[c1] = Uold2[c1] + dt*rkConst[rk]* (U3_p[c1]*(dS[c1-1]+dS[c1])/2 -(F2[c1]-F2
57                 [c1-1])/dx) ;
58                 U3_c[c1] = Uold3[c1] - dt*rkConst[rk]* (F3[c1]-F3[c1-1])/dx;
```

```

58     }
59     // Re-calculate values for next RK step
60     calcPrim();
61     updateBC();
62     calcCons();
63     roeFlux();
64
65 }
66 // Handle result writing
67 std::cout << it << " " << it*dt << std::endl;
68 if (it%writeEvery == 0)
69     writeResults(it);
70 }
71
72 }

```

I.ii Βοηθητικό αρχείο συναρτήσεων utils.cpp

```

1  #include "utils.h"
2  #include "data.h"
3  #include <fstream>
4  #include <string>
5
6  // Declare global variables
7  extern std::vector<double> x;
8  extern std::vector<double> S;
9  extern std::vector<double> U1_p;
10 extern std::vector<double> U2_p;
11 extern std::vector<double> U3_p;
12 extern std::vector<double> U1_c;
13 extern std::vector<double> U2_c;
14 extern std::vector<double> U3_c;
15 extern std::vector<double> F1;
16 extern std::vector<double> F2;
17 extern std::vector<double> F3;
18 extern int cells;
19 extern std::vector<double> dS;
20 extern double dx;
21
22 void initialize()
23 {
24     // Allocate memory for all vectors
25     x.resize(nodes);
26     S.resize(nodes);
27     dS.resize(nodes);
28
29     F1.resize(nodes);
30     F2.resize(nodes);
31     F3.resize(nodes);
32
33     U1_p.resize(cells);
34     U2_p.resize(cells);
35     U3_p.resize(cells);
36     U1_c.resize(cells);
37     U2_c.resize(cells);
38     U3_c.resize(cells);
39

```

```

40 // Initialize all vectors with their respective values
41 std::fill(U1_p.begin(), U1_p.end(), densOut);
42 std::fill(U2_p.begin(), U2_p.end(), 0);
43 std::fill(U3_p.begin(), U3_p.end(), presOut);
44
45 }
46 void discretize() {
47     dx = tubeLength/(nodes-1);
48     for (int i =0; i<nodes; i++)
49     {
50         x[i] = i*dx;
51     }
52 }
53
54 void calcS()
55 {
56     double d = 0;
57     double x_s = 0;
58     int size = (int) S.size();
59     std::ofstream sOut("results/S.dat");
60
61     for (int i = 0; i<size; i++)
62     {
63         x_s = x[i] - cc;
64         // Calculate section area
65         S[i] = k + a*pow(x_s,2)*(pow(x_s,2)-pow(b,2));
66         // Calculate diameter
67         d = sqrt(4*S[i]/pi);
68         // Save area derivative
69         dS[i] = 2 * a * x_s * ( pow(x_s,2)-pow(b,2) ) + 2 * a * pow(x_s,3);
70         // File output
71         sOut << x[i] << " " << d << " " << S[i] << std::endl;
72     }
73     sOut.close();
74 }
75
76 void calcCons()
77 {
78
79     double Sm = 1; // Mean area of cell
80
81     for (int i = 0; i < cells; i++)
82     {
83         // Interpolate area of adjacent nodes
84         // as the mean area of the cell
85         if (i!=0 && i!= cells-1)
86         {
87             Sm = 0.5 * (S[i-1]+S[i]);
88         }else if (i==0) // If first ghost cell take the area of the first node
89         {
90             Sm = S[0];
91         }else // If last ghost -> area of last node
92         {
93             Sm = S[nodes];
94         }
95
96         U1_c[i] = U1_p[i]*Sm;
97         U2_c[i] = U2_p[i]*U1_p[i]*Sm;
98         U3_c[i] = ( U3_p[i]/Gamma1 + 0.5 * U1_p[i] * pow( U2_p[i], 2) ) * Sm;
99     }
100 }
101
102
103 void calcPrim()
104 {
105     double Sm = 1; // Mean area of cell
106
107     for (int i = 0; i < cells; i++)
108     {
109         // Interpolate area of adjacent nodes
110         // as the mean area of the cell
111         if (i!=0 && i!= cells-1)
112         {

```

```

113         Sm = 0.5 * (S[i-1]+S[i]);
114     }else if (i==0)
115     {
116         Sm = S[0];
117     }else
118     {
119         Sm = S[nodes];
120     }
121
122     U1_p[i] = U1_c[i]/Sm;
123     U2_p[i] = U2_c[i]/U1_c[i];
124     U3_p[i] = Gamma1 * ( U3_c[i] - 0.5*pow(U2_c[i] ,2) / U1_c[i] )/Sm;
125 }
126
127 }
128
129 void calcFlux()
130 {
131     std::vector<double> FL(3), FR(3);
132     double VN_L, VN_R, NORM_L, NORM_R;
133     NORM_L = 1;
134     NORM_R = 1;
135     for (int i=0; i<nodes; i++)
136     {
137         VN_L = NORM_L*U2_p[i];
138         VN_R = NORM_R*U2_p[i+1];
139         FL[0] = U1_p[i]*VN_L*S[i];
140         FL[1] = (U1_p[i] * U2_p[i] * VN_L + NORM_L*U3_p[i])*S[i];
141         FL[2] = (U3_c[i]/S[i] + U3_p[i]) * VN_L * S[i];
142
143         FR[0] = U1_p[i+1]*VN_R*S[i];
144         FR[1] = (U1_p[i+1] * U2_p[i+1] * VN_R + NORM_R*U3_p[i+1])*S[i];
145         FR[2] = (U3_c[i+1]/S[i] + U3_p[i+1]) * VN_R * S[i];
146
147         F1[i] = 0.5*(FL[0]+FR[0]);
148         F2[i] = 0.5*(FL[1]+FR[1]);
149         F3[i] = 0.5*(FL[2]+FR[2]);
150     }
151 }
152
153 // Assemble left matrix
154 Eigen::Matrix<double, 3, 3> asmLeft(double U, double dens, double C)
155 {
156     Eigen::Matrix<double, 3, 3> left;
157
158     left(0,0) = 1 - 0.5 * Gamma1 * pow(U,2)/pow(C,2);
159     left(0,1) = Gamma1 * U / pow(C,2);
160     left(0,2) = - Gamma1 / pow(C,2);
161
162     left(1,0) = (0.5 * Gamma1 * pow(U,2) - U*C) * 1/(dens*C);
163     left(1,1) = (C - Gamma1 * U)/(dens*C);
164     left(1,2) = Gamma1/(dens*C);
165
166     left(2,0) = - (0.5 * Gamma1 * pow(U,2) + U*C)/(dens*C);
167     left(2,1) = (C+Gamma1*U)/(dens*C);
168     left(2,2) = - Gamma1/(dens*C);
169
170     return left;
171 }
172
173 // Assemble right matrix
174 Eigen::Matrix<double, 3, 3> asmRight(double U, double dens, double C)
175 {
176     Eigen::Matrix<double, 3, 3> right;
177
178     right(0,0) = 1;
179     right(0,1) = 0.5*dens/C;
180     right(0,2) = -0.5*dens/C;
181
182     right(1,0) = U;
183     right(1,1) = 0.5*(U+C)*dens/C;
184     right(1,2) = -0.5*(U-C)*dens/C;

```

```

186
187
188     right(2,0) = 0.5*pow(U,2);
189     right(2,1) = (0.5 * pow(U,2) + U*C + pow(C,2)/Gamma1)*0.5*dens/C;
190     right(2,2) = -(0.5 * pow(U,2) - U*C + pow(C,2)/Gamma1)*0.5*dens/C;
191
192     return right;
193 }
194
195 void roeFlux()
196 {
197     calcFlux();
198     double r,u,HL,HR,H,c,delta;
199     Eigen::Matrix<double, 3, 3> right, left, lambda, alpha;
200     Eigen::Matrix<double, 3, 1> ULR;
201     Eigen::Matrix<double, 3, 1> roeCor;
202     right.setZero(); left.setZero(); lambda.setZero(); ULR.setZero(); alpha.setZero();
203
204     for (int i = 0; i<nodes; i++)
205     {
206         r = pow(U1_p[i],0.5)*pow(U1_p[i+1],0.5);
207         u = ( pow(U1_p[i],0.5)*U2_p[i] + pow(U1_p[i+1],0.5)*U2_p[i+1] )
208             /(pow(U1_p[i],0.5) + pow(U1_p[i+1],0.5));
209         HL = (U3_c[i]/S[i]+U3_p[i])/U1_p[i];
210         HR = (U3_c[i+1]/S[i+1]+U3_p[i+1])/U1_p[i+1];
211         H = (pow(U1_p[i],0.5)*HL + pow(U1_p[i+1],0.5)*HR )
212             /(pow(U1_p[i],0.5) + pow(U1_p[i+1],0.5));
213         c = sqrt(Gamma1*(H-0.5*pow(u,2)));
214
215
216         delta = 0.05*c;
217
218         // Assemble right and left matrices
219         left = asmLeft(u, r, c);
220         right = asmRight(u, r, c);
221
222         // Perform corrections to handle shock waves
223         lambda(0,0) = abs(u);
224         if (lambda(0,0)<=delta)
225             lambda(0,0) = (pow(lambda(0,0),2)+pow(delta,2))/(2*delta);
226
227         lambda(1,1) = abs(u+c);
228         if (lambda(1,1)<=delta)
229             lambda(1,1) = (pow(lambda(1,1),2)+pow(delta,2))/(2*delta);
230
231         lambda(2,2) = abs(u-c);
232         if (lambda(2,2)<=delta)
233             lambda(2,2) = (pow(lambda(2,2),2)+pow(delta,2))/(2*delta);
234
235         // Difference of right - left conservative vars vector
236         ULR(0,0) = U1_c[i+1]-U1_c[i];
237         ULR(1,0) = U2_c[i+1]-U2_c[i];
238         ULR(2,0) = U3_c[i+1]-U3_c[i];
239
240         // Calc A matrix
241         alpha = right*lambda*left;
242         roeCor = alpha*ULR;
243
244         // Calculate final fluxes for face
245         F1[i] = F1[i] - 0.5*roeCor(0,0);
246         F2[i] = F2[i] - 0.5*roeCor(1,0);
247         F3[i] = F3[i] - 0.5*roeCor(2,0);
248     }
249 }
250
251 }
252
253 void updateBC()
254 {
255     // Inflow BC
256     U1_p[0] = densIn;
257     U2_p[0] = U2_p[1];
258     U3_p[0] = presIn;

```

```

259 // Outflow BC
260 U1_p.back() = U1_p[cells-2];
261 U2_p.back() = U2_p[cells-2];
262 U3_p.back() = presOut;
263 }
264
265
266 void writeResults(int iter)
267 {
268     std::string primName = "primitiveVars";
269     std::string extension = ".dat";
270     std::string filepath = "results/";
271     std::string prFileName = filepath.append(primName).append(std::to_string(iter)).append(
272         extension);
273     std::ofstream outVar(prFileName);
274
275     outVar << "Time Iteration: " << iter << std::endl;
276     outVar << "Time: " << (iter)*dt << std::endl;
277     outVar << std::setw(25) << "Position"
278         << std::setw(30) << "Density"
279         << std::setw(30) << "Velocity"
280         << std::setw(30) << "Speed of sound"
281         << std::setw(30) << "Mach"
282         << std::setw(30) << "Pressure" << std::endl;
283
284     double xm;
285     for (int j=0; j<cells; j++)
286     {
287         if (j!=0 && j!=cells-1)
288         {
289             xm = (x[j-1]+x[j])/2;
290         }else if (j==0)
291         {
292             xm = -(x[0]+x[1])/2;
293         }else
294             xm = -(x[nodes-1]+x[nodes-1])/2 + x[nodes-1];
295
296         double u_c = sqrt(Gamma*U3_p[j]/(U1_p[j]));
297         outVar << std::setw(25) << xm
298             << std::setw(30) << U1_p[j]
299             << std::setw(30) << U2_p[j]
300             << std::setw(30) << u_c // Sound speed
301             << std::setw(30) << U2_p[j]/u_c // Mach number
302             << std::setw(30) << U3_p[j] << std::endl;
303     }
304     outVar.close();
305 }

```

I.iii Αρχείο παραμέτρων data.h

```

1 #pragma once
2
3 // Physical properties
4 #define Gamma 1.4
5 #define Gamma1 0.4
6 #define R 287 // J/(kgK)
7 #define presIn 400000.0 //4 bar to Pa
8 #define presOut 330000.0 // Pa
9 #define tempIn 286.0 // K
10 #define densIn presIn/(R*tempIn) // kg/m3
11 #define densOut presOut/(R*tempIn) // kg/m3

```



```
12
13 // Simulation parameters
14 #define nodes 801
15 #define dt 0.000001
16 #define writeEvery 100
17 #define maxIter 45000
18
19 // Geometry parameters
20 #define tubeLength 2.0
21 #define a 0.216
22 #define b 1.03
23 #define cc 0.97
24 #define k 0.09
```